

**МЕХАНИКА  
ТВЕРДОГО ТЕЛА  
№ 1 • 1999**

УДК 622.011.4

© 1999 г. Н.Г. БУРАГО, А.Н. КОВШОВ

**ЧИСЛЕННОЕ ИССЛЕДОВАНИЕ ПРОЦЕССОВ ДЕФОРМИРОВАНИЯ  
СЛОИСТОГО ГОРНОГО МАССИВА В ОКРЕСТНОСТИ СКВАЖИНЫ**

В работе приведены результаты численного моделирования процесса деформирования слоистого горного массива в окрестности скважины, проходящей через продуктивный пласт. Как и в работе [1] принимается, что продуктивный пласт представляет собой слой пористой фильтрующей упругой среды типа песчаника. Сверху и снизу этого слоя расположены непроницаемые или малофильтрующие слои пластического материала. Основное внимание уделено определению напряженно-деформированного состояния в продуктивном пласте при наличии скважины. В частности определению области, в которой давление сжимающее пористый пласт уменьшается по сравнению с горным давлением. Численное решение строилось с помощью метода конечных элементов позволяющего рассматривать большие деформации. Результаты численного моделирования могут представлять интерес для анализа устойчивости начальной формы скважины, для анализа фильтрационных процессов в окрестности скважины, а также при проектировании гидроразрыва продуктивного пласта.

1. Постановка задачи следующая. Нефтеносный пласт представляет собой слой пористой фильтрующей упругой среды типа песчаника, расположенного на глубине  $H_0$ . Этот слой имеет толщину  $h_0$ . Над ним находится слой толщины  $h_1$  неупругой горной породы типа глины. Сверху над слоем глины и ниже нефтеносного пласта находится горная порода. За счет большой глубины залегания, нефтеносный пласт оказывается под действием горного гидростатического давления  $p = \rho g H_0$  ( $\rho$  – средняя плотность горной породы,  $g$  – ускорение силы тяжести).

Начальное напряженное состояние в слое глины и нефтеносном пласте будет однородным, но отличным от гидростатического и его определение есть отдельная задача. Будем считать, что начальное состояние известно.

При бурении скважины однородность начального состояния нарушается, особенно в окрестности скважины. Происходят деформации, которые приводят к установлению нового напряженно-деформированного состояния. Определение этого состояния представляет интерес для анализа устойчивости начальной формы скважины, для анализа фильтрационных процессов в окрестности скважины, а также для проектирования гидроразрыва нефтеносного пласта [1].

Будем считать, что поведение горной породы, окружающей пластический слой глины и нефтеносный пласт описывается моделью линейного упругого тела. Нефтеносный пласт также принимается упругим. Для описания неупругого поведения слоя глины используется модель упруговязкопластической среды с повреждаемостью, которая строится на основе представлений феноменологической теории дислокаций и развития микродефектов применительно к процессам вязкопластического деформирования материала [2]. В этой модели принимается условие пластической несжимаемости материала и упругий закон для шаровых частей тензора напряжений.

Определяющие соотношения имеют вид [2]:

$$\frac{d\epsilon'_{ij}^p}{dt} = \frac{1}{2\beta} \frac{d\sigma'_{ij}}{dt} + f(\epsilon_2^p) \Psi(T_2 - T_0) \frac{\sigma'_{ij}}{\tau} \quad (1.1)$$

$$\sigma_{kk} = 3K\epsilon_{kk}$$

Штрихом сверху обозначены девиаторы соответствующих тензоров. Функции  $f(\epsilon_2^p)$  и  $\Psi(T_2 - T_0)$  входят в соотношение

$$\dot{\epsilon}_2^p = \frac{1}{\tau} f(\epsilon_2^p) \Psi(T_2 - T_0) \quad (1.2)$$

которое обобщает дислокационные представления для трехмерного напряженно-деформированного состояния и записано в виде соотношения между вторыми инвариантами следующих тензоров: тензора скорости пластической деформации  $\dot{\epsilon}_{ij}^p$ , тензора активных напряжений  $T_{ij}$  и тензора пластических деформаций  $\epsilon_{ij}^p$ .

В частности, при надлежащем выборе функций  $f(\epsilon_2^p)$  и  $\Psi(T_2 - T_0)$ , входящих в соотношение (1.2), эта модель описывает релаксацию напряжений в материале в процессе образования микродефектов и, следовательно, описывает разупрочнение предварительно упрочняющегося материала. Релаксация напряжений происходит до некоторого значения отличного от нуля. Дальнейшее изменение напряжений будет описываться соотношениями идеально-пластического течения

$$d\sigma'_{ij} + H(\sigma'_{mn} d\epsilon'_{mn}) \frac{\sigma'_{mn} d\epsilon'_{mn}^p}{I_2} \sigma'_{ij} = 2\alpha d\epsilon'_{ij}^p \quad (1.3)$$

В этих уравнениях  $I_2$  – второй инвариант девиатора напряжений,  $H(z)$  – функция Хевисайда (подробнее см. [2]).

Далее примем, что границы раздела слоев представляют собой плоскости параллельные плоской дневной поверхности. Скважину примем в виде кругового цилиндра радиуса  $r = R_1$  с осью перпендикулярной плоскостям раздела. В такой постановке необходимо определять напряженное состояние в неограниченных областях. Для построения численного решения необходимо ограничить расчетную область, которую выберем с учетом следующих соображений. В соответствии с предположениями рассмотренными в работе [1] представляется, что разгрузка нефтеносного пласта и близлежащей горной породы будет происходить за счет вязкопластического течения материала глинистого слоя в скважину. Поэтому наибольшие деформации будут локализоваться в окрестности скважины в неупругом слое. Это позволяет предположить, что нефтеносный пласт представляет собой упругий пористый фильтрующий слой, лежащий на гладком и жестком основании. Будем также считать, что при  $r = R_2$  имеется гладкая жесткая стенка. Горная порода, лежащая выше слоя глины, принимается упругим слоем толщины  $h_2$ , на верхней границе которого заданы такие нагрузки, которые моделируют нагружение нефтеносного пласта горным давлением.

Введем цилиндрическую систему координат  $r, z, \varphi$  с осью направленной по оси скважины. В этой системе координат расчетная область имеет вид:  $R_1 \leq r \leq R_2$ ,  $0 \leq z \leq h_0 + h_1 + h_2$ ,  $0 \leq \varphi \leq 2\pi$ .

Будем считать начальные и граничные условия таковыми, что задачу можно рассматривать как осесимметричную. Примем следующие граничные условия:

$$\text{при } z = 0, \quad u_z = \tau_{rz} = 0; \quad (1.4)$$

$$\text{при } z = H_0, \quad \sigma_z = -p_0; \quad \tau_{rz} = \tau_{z\varphi} = 0$$

$$\text{при } r = R_2, \quad u_r = \tau_{rz} = 0;$$

$$\text{при } r = R_1, \quad \sigma_r = f_1(z, t), \quad \tau_{rz} = f_2(z, t) \quad (1.5)$$

Функции  $f_1$  и  $f_2$  должны моделировать переход от начального напряженного состояния к условиям имеющим место на скважине, т.е. для  $t > t_1$   $f_1 = f_2 = 0$ , а при  $t = 0$  должны обеспечивать выполнение начальных условий для напряжений в массиве без скважины, вычисленных при  $r = R_1$ . Конкретный вид функций, конечно, влияет на решение и это влияние должно быть проанализировано при численном моделировании. Второе условие (1.5) при  $t > t_1$  следует из того, что при отсутствии перепада давления между скважиной и фильтрующим пористым продуктивным пластом, напряжения на стенке скважины равны нулю.

Начальное напряженное состояние не зависит от координат  $r, \varphi$  и в этом смысле однородно. Вычислим начальные напряжения, соответствующие выбранным граничным условиям и расчетной области. Для компонент вектора смещения и соответствующих деформаций получим:

$$u_r = 0, \quad u_\varphi = 0, \quad u_z \neq 0, \quad \varepsilon_{zz} = u_{zz}, \quad \varepsilon_{rr} = 0, \quad \varepsilon_{\varphi\varphi} = 0 \quad (1.6)$$

При небольших глубинах залегания все слои будут в упругом состоянии. Поэтому имеем

$$\sigma_r = \sigma_\varphi = \lambda \Delta, \quad \sigma_z = \lambda \Delta + 2\mu \varepsilon_{zz}, \quad \Delta = \varepsilon_{zz}$$

где  $\lambda, \mu$  – коэффициенты Ламе. Будем предполагать выполнение условий непрерывности вектора усилий и вектора смещения на границах слоев. Напряжение  $\sigma_z$  одинаково во всех слоях и равно  $\sigma_z = -p_0$ . Для других напряжений получим

$$\sigma_r = \sigma_\varphi = -p_0 \frac{\lambda}{\lambda + 2\mu}, \quad \tau_{rz} = \tau_{r\varphi} = 0 \quad (1.7)$$

Однородность напряженного состояния и условия непрерывности на границах раздела позволяют определить смещения как функции от  $z$ , например, в нефтеносном пласте  $u_z^0 = -p_0 z / (\lambda_0 + 2\mu_0)$ .

При увеличении  $p_0$  слой глины переходит в пластическое состояние и напряженно-деформированное состояние в нем можно вычислить, пользуясь уравнениями (1.1). Однако напряжения в слое могут быть вычислены без привлечения полной системы уравнений. Действительно, приняв условие пластичности Мизеса [3], для компонент девиатора тензора напряжений  $s_r, s_z, s_\varphi$  получим следующую систему уравнений:

$$\begin{aligned} s_r + s_z + s_\varphi &= 0, \quad s_r - s_\varphi = 0, \\ s_r^2 + s_\varphi^2 + s_z^2 &= 2k^2 \end{aligned} \quad (1.8)$$

Откуда получаем  $|s_z| = 2k/\sqrt{3}$ ,  $|s_r| = k/\sqrt{3}$ . Знаки  $s_z$  и  $s_r$  определим из их значений в упругом состоянии и условия непрерывности по нагрузке. Имеем

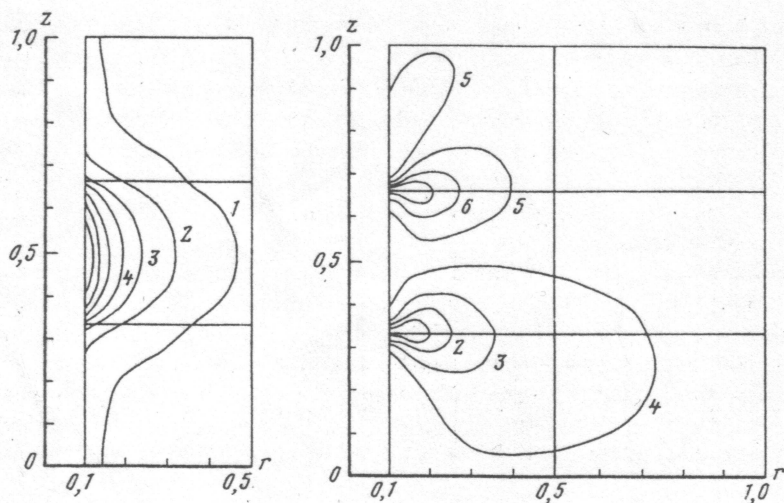
$$p_e = \frac{p_0}{3} \left( 1 + \frac{2\lambda_0}{\lambda_0 + 2\mu_0} \right) > 0, \quad s_z < 0, \quad s_r > 0$$

Поэтому  $s_z = -2k/\sqrt{3}$ ,  $s_r = k/\sqrt{3}$  и окончательно получим

$$\sigma_z = -p_0, \quad \sigma_r = \sqrt{3}k - p_0, \quad \sigma_\varphi = \sqrt{3}k - p_0 \quad (1.9)$$

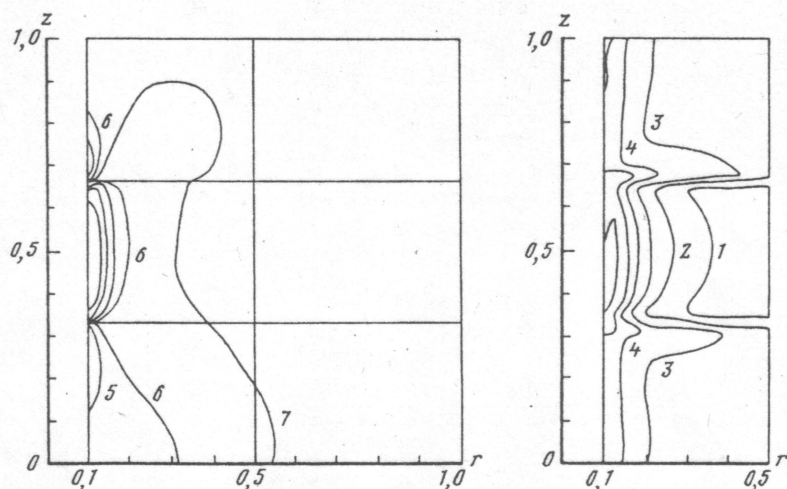
Выражения (1.9) дают значения начальных напряжений в слое глины. В породе и в нефтеносном пласте начальные напряжения и в этом случае определяются по (1.7).

2. Параметрический анализ задачи был произведен численно с использованием пакета программ "Астра" [4]. При этом принималось, что давление приложенное к внешней границе верхнего слоя монотонно возрастает по времени от нуля до значения  $p_0$ . Решение соответствующей квазистатической задачи строилось методом установ-



Фиг. 1

Фиг. 2



Фиг. 3

Фиг. 4

ления. Исследованы случаи, когда в результате больших деформаций, локализованных в неупругих слоях в окрестности скважины, скважина теряет цилиндрическую форму. На фигурах представлены результаты расчетов модельной задачи для некоторых значений параметров. Принималось, что продуктивный пласт представляет собой упругий пористый слой толщины  $h_0$ , лежащий на жестком и гладком основании. Расположенный над ним слой глины толщины  $h_1$  принимался упругопластическим с постоянной текучести равной  $k$ . Слой горной породы, лежащий над слоем глины, принимался упругим слоем толщины  $h_2$ . Далее принималось  $H_0 = 1$ ,  $R_2 = 1$ ,  $h_0 = h_1 = h_2 = H_0/3$ ,  $R_1 = 0,1R_2$ .

Верхний и нижний слой считались упругими с одинаковыми свойствами. Величины размерности напряжений отнесены к постоянной текучести  $k$ , которая принималась равной единице. Упругие свойства характеризовались значениями модуля Юнга  $E$ , коэффициентом Пуассона  $\nu$  и плотностью  $\rho$ . Было принято:  $E_0 = E_2 = 1000$ ,  $\nu_0 = \nu_2 = 0,3$ ;  $\rho_0 = \rho_2 = 1$ ,  $E_1 = 500$ ,  $\nu_1 = 0,49$ ,  $\rho_1 = 1$ .

Максимальное значение  $p_0$  принималось равным  $1,5k$ . При такой нагрузке в упруго-

пластическом слое глины пластические деформации развивались вблизи скважины. Как показывают расчеты, при увеличении  $p_0$  пластическая область распространяется на большую часть этого слоя. На фигурах представлены изолинии некоторых величин. Горизонтальные прямые соответствуют плоским границам слоев. На фиг. 1 показаны изолинии радиального смещения. Цена изолиний определяется как  $u_r = -0,42 \cdot 10^{-3} + (i-1)0,6 \cdot 10^{-4}$ , где  $i$  – номер изолинии. Видно, что радиальные смещения сосредоточены в слое глины, который выдавливается в скважину. Эта фигура дает представление о деформации слоев и смещении стенки скважины. На фиг. 2 даны изолинии касательных напряжений. Цена изолиний определяется выражением  $\tau_{rz} = -0,235 + (i-1)0,075$ . Эта фигура показывает, что при наличии скважины в продуктивном пласте образуется сложное напряженное состояние, отличающееся от напряженного состояния при плоской деформации, которое рассматривалось в работе [1]. Это обстоятельство необходимо учитывать при рассмотрении вопроса о разрушении пласта, например, при гидроразрыве. По изолиниям сжимающего вертикального напряжения, поле которого представлено на фиг. 3 (цена изолиний соответствует  $\sigma_z = -1,73 + (i-1)0,12$ ) можно судить об области, в которой вертикальные напряжения, сжимающие нефтеносный пласт, меньше аналогичных напряжений, обусловленных горным давлением в отсутствии скважины. Изолинии радиальных напряжений показаны на фиг. 4, при этом цена изолиний определяется выражением  $\sigma_r = -1,24 + (i-1)0,18$ .

Таким образом, результаты решения модельной задачи позволяют заключить, что численное моделирование может оказаться необходимым при создании методов увеличения продуктивности нефтеносных и газоносных пластов.

Авторы выражают признательность В.Н. Кукуджанову за постоянное внимание к работе.

Работа выполнена при финансовой поддержке Российского фонда фундаментальных исследований (проект 98-05-64751а).

#### СПИСОК ЛИТЕРАТУРЫ

1. Христианович С.А., Желтов Ю.П. О гидравлическом разрыве нефтеносного пласта // Изв. АН СССР. ОНТ. 1955. № 5. С. 3–41.
2. Кукуджанов В.Н. Микромеханическая модель неупругой среды для описания локализаций деформаций // Тр. IX конференции по прочности и пластичности. Т. 2. М.: ИПМ РАН, 1996. С. 118–124.
3. Соколовский В.В. Теория пластичности. М.: Высш. школа, 1969. 608 с.
4. Бураго Н.Г., Кукуджанов В.Н. Решение упругопластических задач методом конечных элементов. Пакет прикладных программ "АСТРА": Препринт № 326. М.: ИПМ РАН, 1988.

Москва

Поступила в редакцию  
4.06.1998